

<학술논문>

DOI:10.3795/KSME-A.2008.32.2.177

CF8M 스테인리스 강 저주기 환경피로 실험의 주기적 변형률 경화 특성

정일석[†] · 하각현^{*} · 김태룡^{*} · 전현익^{**}
(2007년 11월 5일 접수, 2008년 1월 9일 심사완료)

Characteristics of the Cyclic Hardening in Low Cycle Environmental Fatigue Test of CF8M Stainless Steel

Il-Seok Jeong, Gak-hyun Ha, Tae-Ryong Kim and Hyun-Ik Jeon

Key Words : Environmental Fatigue(환경피로), Corrosion Fatigue(부식피로), CF8M CASS(CF8M 주조 오스테나이트 스테인리스 강), Cyclic Strain Hardening(주기적 변형률 경화), Low Cycle Fatigue(저주기 피로)

Abstract

Low-cycle environmental fatigue tests of cast austenitic stainless steel CF8M at the condition of fatigue strain rate 0.04%/sec were conducted at the pressure and temperature, 15MPa, 315°C of a operating pressurized water reactor (PWR). The used test rig was limited to install an extensometer at the gauge length of the cylindrical fatigue specimen inside a small autoclave. So the magnet type LVDT's were used to measure the fatigue displacement at the specimen shoulders inside the high temperature and high pressure water autoclave. However, the displacement and strain measured at the specimen shoulders is different from the one at the gauge length for the geometry and the cyclic strain hardening effect. Displacement of the fatigue specimen gauge length calculated by FEM (finite element method) used to modify the measured displacement and fatigue life at the shoulders. A series of low cycle fatigue life tests in air and PWR conditions simulating the cyclic strain hardening effect verified that the FEM modified fatigue life was well agreed with the simulating test results. The process and method developed in this study for the environmental fatigue test inside the small sized autoclave would be so useful to produce reliable environmental fatigue curves of CF8M stainless steel in pressurized water reactors.

1. 서론

원자력발전소 압력경계 기기의 피로 건전성을 설계하는 ASME Section III Appendix 의 피로설계용 수명 곡선은 상온에서의 저주기 피로실험 결과를 바탕으로 평균 수명곡선의 변형률에 2 배, 수명에 20 배의 여유(margin)를 부여하여 보수적으로 적용

하고 있다.⁽¹⁾ 그러나 압력경계의 기기가 피로측면에서 보수적으로 설계되었다고 하더라도 실 가동 조건에서는 고온, 고압 운전 환경에 의해 재료 표면에 부식 현상이 나타날 수 있으므로 실 운전환경에서의 피로실험 결과를 이용하여 수명을 평가하여야 한다고 주장하고 있다.⁽²⁾ 현재 가동중인 원전의 안전등급 기기들에 대한 피로설계는 ASME B&PV Section III 에 의해 수행되며 비파괴 검사를 통해 발견된 균열의 성장거동 평가는 ASME B&PV Section XI 의 절차를 따르고 있다. 그러나 현재 ASME 에서 사용하고 있는 피로수명 평가곡선과 피로균열성장 평가곡선은 가동 중 조건인 수화학 환경의 영향이 고려하지 않고 있으며 일부 수화학 조건에서는

[†] 책임저자, 회원, 한전 전력연구원
E-mail : isjeong@kepri.re.kr
TEL : (042)865-5660 FAX : (042)865-5604
^{*} 한전 전력연구원
^{**} (주)K.L.E.S.

기존의 자료들이 충분히 보수적이지 않을 수 있다.⁽²⁻⁴⁾

국내에서는 한전 전력연구원,^(5,6) 한국과학기술원⁽⁷⁾ 등에서 원자력발전소 기기 환경피로 연구를 수행하고 있으나 주기적 변형률 경화 현상을 실험적인 방법으로 보정하여 환경피로 수명을 확인하는 시도를 하지 않아 기존의 FEM 방법에 의한 보정의 현실성을 검증할 필요가 있었다.

본 논문에서는 압력경계 배관 재료인 CF8M 주조 스테인리스 강의 실 가동 환경에서의 피로수명 평가에 필요한 환경피로 수명평가 곡선을 개발하는 과정에서 나타나는 주기적 변형률 경화(CSH, cyclic strain hardening) 현상의 특성을 연구하였다.⁽⁸⁾ 가동 운전 조건을 실험으로 모사하기 위한 고온 고압 소형 autoclave 내부에서 봉상형 피로 시험의 변위량과 변형률을 정밀하게 측정하기 위한 선행 실험 및 보정 방법을 개발하여 저주기 환경피로 실험을 수행하였다. 그리고 유한요소 해석으로 변형량을 보정하여 별도의 실험을 수행한 결과로 주기적 변형률 경화 특성 실험의 신뢰성을 확인하였다.

2. 저주기 환경피로실험장치

2.1 설계요건

원자력발전소의 1 차측 고온고압 환경을 모사할 수 있는 피로실험장치를 제작하기 위해 다음 기능이 설계에 반영되어야 한다. 우선 DO, pH, H₂ 등의 수화학 변수를 제어할 수 있어야 하고 수화학 루프의 누설이 없어야 한다. 피로실험 하중장치는 변형률 제어(strain control)가 가능하고 반복 하중(fully reversed load)을 가할 수 있어야 한다. 변위 측정장치는 표점거리의 변위를 정확히 측정할 수 있도록 충분한 강성을 보유하여야 한다. 본 실험 장치에서는 최대 하중의 크기 60kN, 하중 반복속도 1Hz, 최대 변위 50mm, 최대 운전온도 350℃, 압력은 170bar 까지 실험할 수 있도록 설계되었다.

2.2 고온 고압 수화학 루프

수화학 루프의 전체구성을 수화학 루프의 전체 구성을 Fig. 1 에 나타내었다. 수화학 루프 설계에서 가장 주안점을 둔 부분은 운전 안전과 편리성이다. 운전 안전을 위하여 기계적 위험감지 장치와 전기적 위험감지 장치를 동시에 설치하였으며, 배관의 파손에 의한 사고가 일어나면 압력센서의 작동에 의해 즉시 루프 가동이 정지되도록 설계하였다. 또한 Fig. 2 와 같이 각종 밸브와 계측기를 패널 전면에 집중시킴으로써 시험자의 편의성을 도모하였다.

2.3 압력용기 및 하중전달장치

시험장치의 전체적인 형상은 Fig. 3 과 같이 고온 고수압의 환경을 유지하는 Autoclave(1), 시험편이 고정되는 Jig 및 내부 변형률 측정시스템이 장착된 하부구조물(lower structure)(2), Load cell(31), 리미트 센서(32), 구동기(actuator)(33), 시험장치 전체를 지탱하여 주는 본체(main frame)(3)로 구성되어 있다. 구동기는 전기 서보 방식으로 구동되며 변형률 측정 시스템에서 얻어진 변형률 값을 피드백 신호로 사용하여 PID 제어 방식으로 작동된다. 하중의 감지는 구동기와 주 로드(rod) 사이에 설치된 Load cell (31)에 의해 전기적으로 이루어진다.

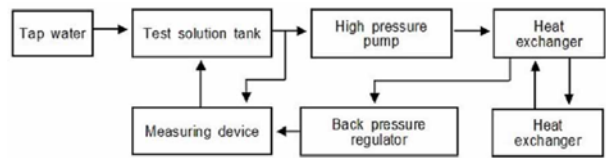


Fig. 1 The composition of the loop

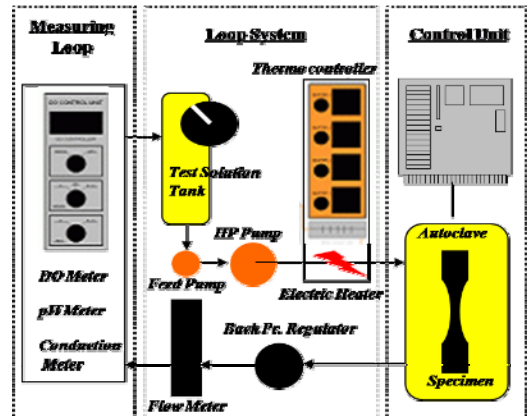


Fig. 2 The diagram of the loop control panel

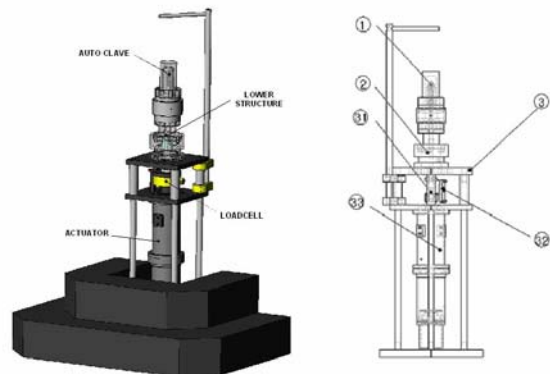


Fig. 3 Low-Cycle fatigue test rig in simulated PWR environments

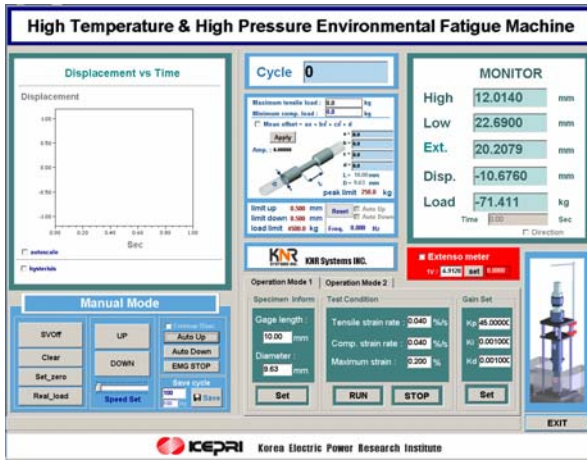


Fig. 4 The diagram of the loop control panel



Fig. 5 Low-cycle environmental fatigue test rig

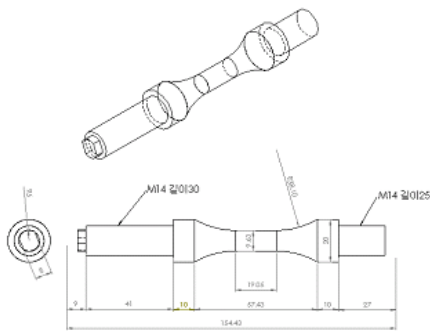


Fig. 6 Low-cycle fatigue test specimen

2.4 제어 프로그램

본 실험에서 사용되는 저주기 환경피로실험 제어 프로그램의 제어 화면을 Fig. 4 에 나타내었다. 프로그램은 시험편의 치수 및 실험조건 설정이 용이함은 물론 장시간의 시험에도 안정성을 가지도록 제작되었으며 사용자의 요구에 의한 수정도 가능하도록 설계하였다. 본 연구를 위하여 변형률의

Table 1 Chemical composition

Materials	C	Mn	Si	Cr	Ni	Mo	S	P
CF8M(1)	0.059	0.916	1.167	19.88	8.21	2.329	0.007	0.043
CF8M(2)	0.058	0.918	1.116	19.35	8.39	2.351	0.006	0.043
Average	0.058	0.917	1.141	19.62	8.30	2.340	0.006	0.043

평균값의 변화를 반영할 수 있는 수식 적용 기능, 내장 LVDT 외의 추가 변위계측장치 입력 모듈을 추가하였다.

3. 저주기 환경피로 실험

이상의 설계요건에 따라 제작된 저주기 환경피로 실험장치의 모습은 Fig. 5 와 같다.

3.1 시험편

실험에 사용된 표준시험편은 ASTM E 606-92⁽⁹⁾에서 제시한 저주기 피로실험시험편 규격에 따라 Fig. 6 과 같이 제작하였다. 표점거리간 거리는 19.05mm, 시험중앙부의 지름은 9.63mm 이며 시험편의 끝단 이음부의 모양은 시험편 고정장치의 설계형상에 맞게 제작하였다.

시험편 재료는 경수로형 원전 1 차 냉각재 배관의 재료인 CF8M 의 화학적 조성을 조사하여 가동중인 배관재와 동일한 CF8M CASS ingot 을 제작하였으며 1050℃에서 4 시간 동안 후 열처리하고 급냉하였다. 주조 스테인리스강의 화학 조성은 Table 1 과 같다.

3.2 실험조건 및 방법

가압경수로(PWR, pressurized water reactor) 환경과 비슷한 환경에서 실험을 수행하기 위하여 압력용기 내 실험용액의 최대 온도는 315℃, 최대 압력은 15MPa, 용존산소는 5ppb 이하로 설정하였다. 하중비는 R=-1 로 인장 및 압축이 반복되는 톱니형 파이며 변형률 속도(strain rate)를 0.04%/s 로 하여 최대 변형률 진폭(strain amplitude) 값이 시험편 표점거리의 0.4%, 0.6%, 0.8%인 경우에 대하여 실험을 수행하였다. 이상의 실험조건과 수질 측정값을 Table 2 에 나타내었다. 모든 실험은 변형률 제어(strain control)의 방법으로 수행되었으며 피로수명은 실험하중이 초기 인장하중의 25%로 감소하는 시점의 사이클 수(N₂₅)로 결정하였다.⁽¹⁰⁾

저주기 환경피로 실험은 가동 운전 조건을 실험

으로 모사하기 위하여 소형 autoclave 내부에서 실험을 수행하며 Fig. 7 과 같이 시편의 표점거리 밖에 체결된 LVDT 변위센서를 사용하여 변위와 변형률을 계측하게 된다. Real gage(R.G)는 extensometer로 변형률을 측정 또는 제어하기 위하여 사용되며, Shoulder gage(S.G)는 장비에 내부에 장치된 LVDT로 시험편 어깨부에서의 변형률을 측정한다. R.G.부에서 발생하는 재료의 주기적 변형률 경화현상은 S.G.부에서 왜곡된 변형률 또는 변위의 형태로 나타나며, 이러한 R.G.부의 주기적 변형률 경화현상을 S.G.부에 반영하기 위한 변형률 관계를 정의할 필요가 있다. 이와 같은 특성을 고려하기 위하여 본 연구에서는 두 가지 방법으로 실험을 수행하였다. 한가지는 FEM 을 이용하여 변형률 경화 특성을 적용하였고, 다른 하나는 공기중 실험을 통하여 시편 변위 측정부의 실제 변위거동을 모사할 수 있는 수식을 유도하여 실험에 적용하는 방법이다.

Table 2 Test conditions

Load Ratio (R)	-1 (tensile/compress)
Strain Rate	0.04%/s
Strain Amplitude (ε _a)	0.4%, 0.6%, 0.8%
Temperature	315℃
Pressure	15MPa
DO (dissolved oxygen)	< 5ppb

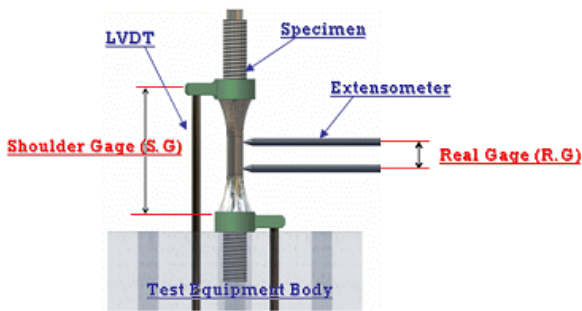


Fig. 7 Real gage and Shoulder gage of specimen

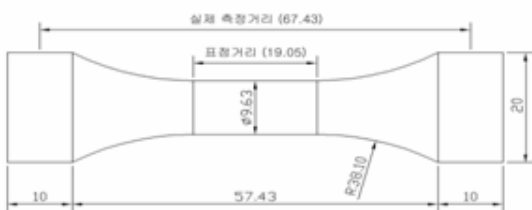


Fig. 8 Dimension of specimen

3.3 FEM 을 이용한 저주기 환경피로 실험결과

저주기 환경피로 실험은 표점거리의 변형률을 기준으로 제어를 하며, Fig. 8 에서와 같이 표점거리와 실제측정거리가 다르기 때문에 실제로 측정되는 변형량과 표점거리 변형량과의 상관관계를 구하여 보정해주어야 한다. 동일 재료로 고온 인장실험을 수행한 결과와 실험조건을 입력데이터로 사용하여 Fig. 9, 10, 11 과 Table 3, 4 와 같이 유한요소 해석(FEM, finite element method) 방법으로 표점거리와 측정구간 사이에서의 변형률 차이를 계산하였다. 표점거리 보정을 위한 유한해석은 다음과 같다.

3.3.1 경계조건

유한요소해석 프로그램 ABAQUS 를 이용하여 Fig. 9 와 같이 시편을 모델링 하였다. 시편의 한쪽을 고정단으로 하고 반대편을 하중단으로 하여 축방향으로 분포하중을 인가하였다. 고정단에서의 축방향 변위를 고정하고 하중단에 분포하중을 non-linear 조건에서 하중을 서서히 늘려 인가하면서 표점거리 변위의 변화와 그림간 거리의 변화를 계산하였다.

3.3.2 해석결과

동일 재료의 315℃ 고온 인장시험 결과를 입력하고 비선형 응력해석을 수행하였으며 응력분포 및 축방향 길이 신장량 해석결과는 Fig. 10, 11 과 같다. Table 3 의 R.G.부, S.G.부에서의 FEM 변위량 해석 결과를 비교하여 상관 관계를 plot 하고 이를 회귀분석(regression) 하면 아래와 같은 관계식을 얻을 수 있다.

$$d_{RF} = -8.0102 d_{SF}^3 + 3.7336 d_{SF}^2 + 0.365519 d_{RF} + 0.00018653 \quad (1)$$

여기서 d_{RF} 는 R.G.부에서의 FEM 해석 변위량 (mm)이고 d_{SF} 는 S.G.부에서의 FEM 해석 변위량 (mm)이다.

관계식 (1)을 실제 Autoclave 내부에서수행한 저주기 피로 실험에서 측정된 S.G.부의 변위 값을

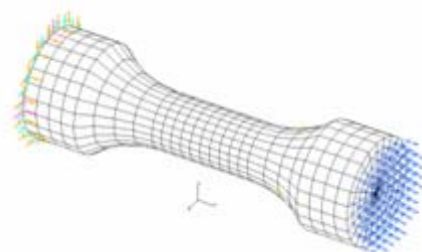


Fig. 9 Boundary conditions (3D solid)

Table 3 Results of FEM analysis

R.G. Length		S.G. Length	
Strain (%)	Disp. (mm)	Strain (%)	Disp. (mm)
0.10	0.0191	0.188	0.03574403
0.20	0.0381	0.350	0.06670005
0.30	0.0572	0.490	0.09326808
0.40	0.0762	0.580	0.11544811
0.50	0.0953	0.699	0.13324013
0.60	0.1143	0.800	0.14664416
0.70	0.1334	0.952	0.15566019

Table 4 Results of compensation

Strain Amplitude (ϵ_a)	Corrected Strain Amplitude (ϵ_a)
0.4	0.580
0.6	0.800
0.8	1.014

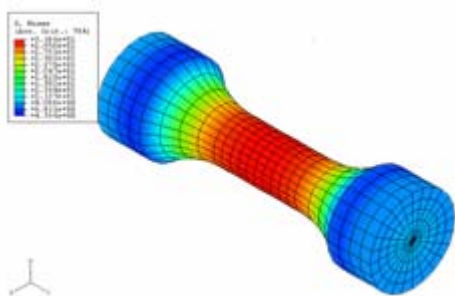


Fig. 10 FEM result of stress distribution

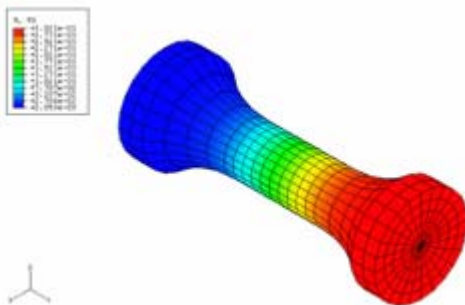


Fig. 11 FEM result of specimen elongation

적용하면 R.G. 평행부에서의 보정된 변위 값과 변형률 진폭을 얻을 수 있다.

3.3.3 저주기 환경피로 실험결과 상기의 해석결과에 따라 보정된 변형률 진폭을

Table 5 Test results

	Strain amplitude (%)		
	$\epsilon_a = 0.4$	$\epsilon_a = 0.6$	$\epsilon_a = 0.8$
Strain rate (%/s)	0.04	0.04	0.04
Frequency(Hz)	0.025	0.0167	0.0125
Fatigue life(cycles)	8,300	3,040	1,660

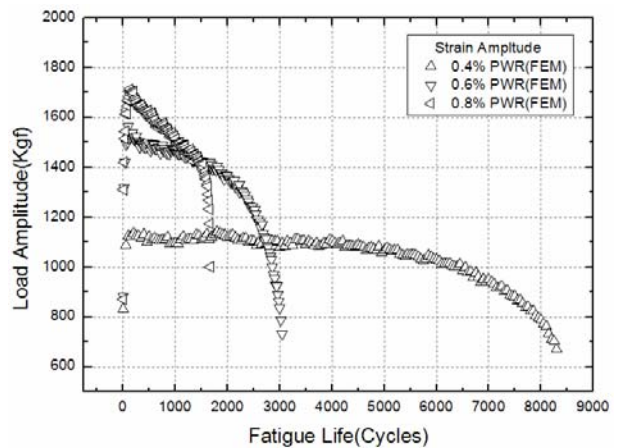


Fig. 12 Graph of load amplitude vs. fatigue life

적용하여 저주기 환경피로 실험을 수행한 결과를 Table 5에 요약하였다. Fig. 12는 측정된 피로하중의 최대치의 변화를 그린 선도이다. 초기 피로 주기횟수 구간에서 주기적 변형률 경화의 영향으로 일정 변형률에서 피로 하중 최대치가 증가하는 것을 볼 수 있다. 주기적 변형률 경화현상은 초기의 피로주기횟수 구간에 큰 영향을 주고, 피로수명의 20%~40% 이후 구간에서는 영향력이 감소한다. 또한 실험 조건인 변형률 크기의 값이 0.8%, 0.6%, 0.4%로 감소할수록 동일 반복주기횟수에서 경화현상이 감소함을 볼 수 있다.

3.4 수식을 적용한 저주기 환경피로 실험결과 주기적 변형률 경화 특성을 보다 정밀하고 실제적인 방법으로 반영하기 위해 R.G.부에서의 변위량을 공기중 고온에서 직접 측정하여 활용하는 보정 방법을 개발하였다.

PWR 환경과 동일한 고온 조건의 공기중 실험을 통해 R.G.부와 S.G.부에서의 변형률 진폭의 관계를 규명하고 변형률 경화현상이 고려된 상관관계 수식을 유도한다. 이 수식을 이용하여 PWR 환경 피로실험 중 cycle 수에 따라 S.G.부에 장착된 LVDT의 변위를 제어한다. PWR 조건의 고온 고수압 실험은 공기 중 고온 선행 실험을 통해 얻은 수식을 사용하여 수행한다.

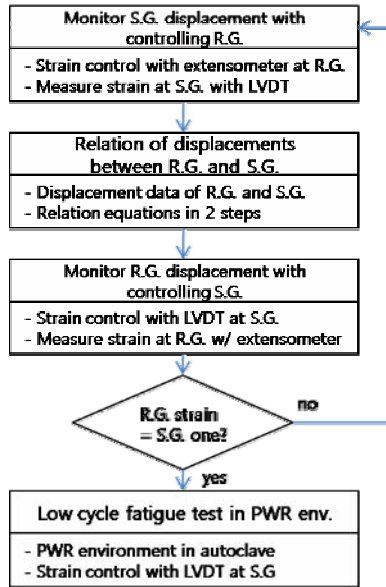


Fig. 13 Experiment process to modify CSH

Fig. 13 은 주기적 변형을 경화현상을 보정하기 위해 실험수식을 적용한 저주기 환경피로 실험 절차를 설명하는 흐름도이다.

3.4.1 공기중 고온 실험결과 및 수식의 유도

PWR 환경 실험에 앞서 수행한 공기 중 고온 실험결과를 Table 6 에 요약하였다. Fig. 14 는 고온 공기 중 실험에서 측정된 R.G.부 extensometer 와 S.G. 부 LVDT 의 변형을 상관관계를 보여준다. 실험 구간에서 선형의 상관관계를 보이고 있음을 알 수 있다. Extensometer 를 사용하여 제어한 공기 중 고온실험에서 cycle 수에 따라 측정된 LVDT 의 변위 거동을 Fig. 15 에 도시하였다. 이를 통해 PWR 실험 환경의 Autoclave 내부 LVDT 변위거동을 제어하였다. 제어프로그램을 통해 실험에 반영되는 수식은 2 단계로 나누어 적용하였으며 Fig. 16, 17 에 도시하였다. 유도 수식을 2 단계로 구분하여 적용한 이유는 피로실험의 초기 및 중간단계에서의 S.G.부의 변위 변화 특성이 상이하여 1 개의 수식으로는 과형을 적절히 묘사할 수 없기 때문이다. Fig. 16 은 초기 피로 주기횟수 구간을 시간으로 바꾸고 주기적 변형을 경화현상의 영향이 큰 초기부분 데이터를 외삽하여 3 차 Polynomial 로 나타낸 것이다. Fig. 17 은 변위거동이 안정화된 영역을 정리하여 수식화한 것을 도시하고 있다. 주기적 변형을 경화현상을 고려하기 위하여 변형을 진폭 0.6% 실험에서 도출된 시간에 따른 S.G.부에서의 변위량 수식은 다음과 같다.

Table 6 Test results in air, 315 °C

	Strain amplitude (%)		
	$\epsilon_a = 0.4$	$\epsilon_a = 0.6$	$\epsilon_a = 0.8$
Strain rate (%/s)	0.04	0.04	0.04
Frequency(Hz)	0.025	0.0167	0.0125
Fatigue life(cycles)	10,230	5,214	2,654

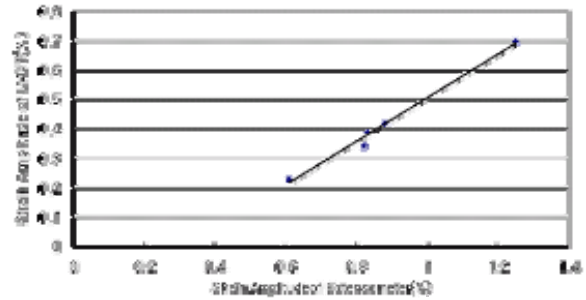


Fig. 14 Relation of extensometer and LVDT strain

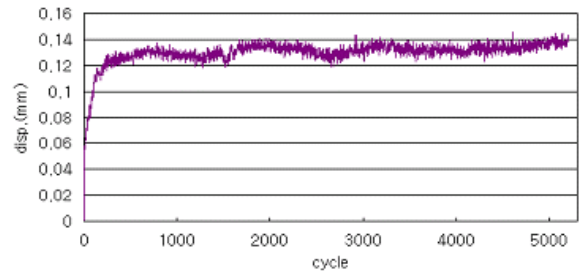


Fig. 15 Displacement behavior of LVDT

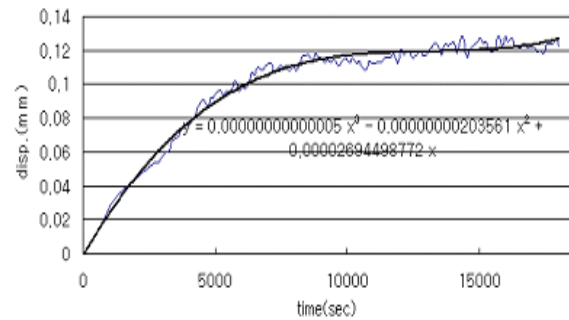


Fig. 16 Derived equation (Step 1)

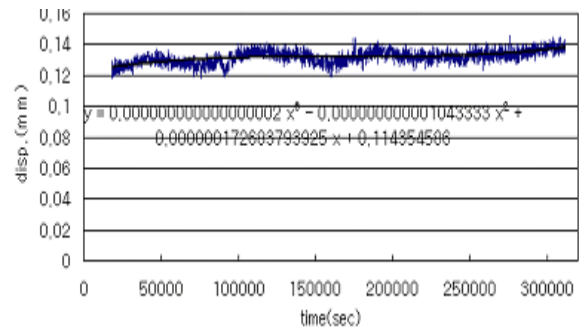
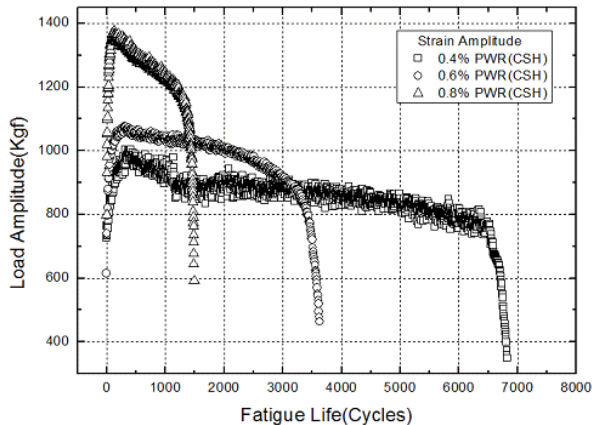
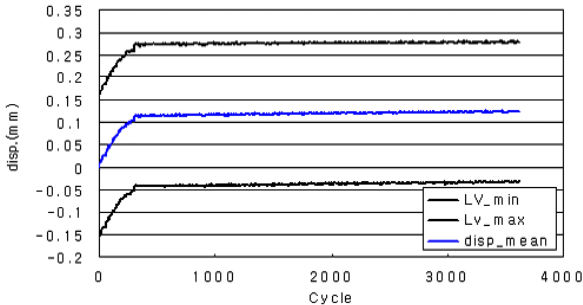


Fig. 17 Derived equation (Step 2)

Table 7 Test results in PWR environment

	Strain amplitude (%)		
	$\epsilon_a = 0.4$	$\epsilon_a = 0.6$	$\epsilon_a = 0.8$
Strain rate (%/s)	0.04	0.04	0.04
Frequency(Hz)	0.025	0.0167	0.0125
Fatigue life(cycles)	6,818	3,610	1,473

**Fig. 18** Graph of load amplitude vs. fatigue life**Fig. 19** Modified displacement behavior of LVDT

Step 1:

$$d_s = 5.00E-14 t^3 - 2.04E-09 t^2 + 2.70E-05 t \quad (2)$$

Step 2:

$$d_s = 2.00E-18 t^3 - 1.04E-12 t^2 + 1.73E-07 t + 1.14E-01 \quad (3)$$

여기서 d_s 는 S.G.부에서의 고온 변위량(mm)이고 t 는 저주기 피로실험 시간(sec)이다.

수식 (2)와 (3)을 PWR 환경 저주기 피로실험에 적용하여 LVDT 변위센서의 실제 거동을 모사할 수 있다.

3.4.2 PWR 조건 저주기 환경피로 실험결과 상기의 실험조건에 따라 유도 수식을 적용하여

PWR 조건에서 저주기 환경피로 실험을 수행한 결과를 Table 7 에 요약하였다. 유도 수식의 적용은 Step 1 구간이 끝나면 실험을 일시 중지한 후 Step 2 단계 수식으로 교체한 후 실험을 재개하였으며 하중과 변형률이 큰 변화 없이 연결되도록 유지하였다. Fig. 18 은 측정된 피로하중의 최대치의 변화를 그린 선도이다. 초기 피로 주기횟수 구간에서 소성변형에 의해 발생하는 주기적 변형률 경화의 영향으로 일정 변형률에서 피로하중 최대치가 증가하는 것을 볼 수 있다. 주기적 변형률 경화현상은 초기의 피로주기횟수 구간에 큰 영향을 주며, 실험 조건인 변형률 크기의 값이 0.8%, 0.6%, 0.4%로 감소할수록 동일 반복주기횟수에서 경화현상이 감소함을 알 수 있다.

3.4.3 유도 수식의 검증

주기적 변형률 경화현상을 적용하기 위한 수식은 모든 실험조건에 대하여 개별적으로 유도되었으며, 변형률 진폭 0.6% 실험의 경우 수식을 사용하여 저주기 환경피로 실험을 수행한 후 측정된 LVDT의 변위거동을 Fig. 19 에 도시하였다. 변위량 평균 값인 $disp_mean$ 값이 Fig. 15 의 공기 중 고온 실험에서 계측된 LVDT의 변위거동을 성공적으로 모사하고 있음을 알 수 있다.

4. 실험결과 고찰

Fig. 20 은 상기 실험의 결과로 구한 CF8M 재료의 피로수명 데이터이다. 유도수식을 적용하여 저주기 환경피로 실험을 수행한 결과와 FEM을 사용한 실험결과가 유사하게 나타나고 있음을 알 수 있다. Fig. 21 은 본 실험결과를 선행 유사 실험결과와 비교한 것이다. 2004 년 전력연구원의 실험방법과 본 실험의 FEM 해석을 이용한 실험방법은 동일하며 실험결과 또한 거의 유사하게 나타났다.

유도 수식을 이용하여 주기적 변형률 경화 특성을 고려한 실험과 FEM 해석을 이용하여 R.G.부와 S.G.부간의 상관관계를 정의하고 PWR 환경에서 실험한 결과와 비교해보면, FEM 해석을 통한 방법이 수식을 사용한 실험방법에 의한 피로수명보다 약간 보수적임을 알 수 있으나 유사한 피로수명 경향을 나타낸다. 이상의 결과는 FEM 해석을 통한 방법이 유효한 방법임을 검증한 것이다. 더불어 본 연구를 통해 개발된 유도 수식을 사용한 방법 역시 신뢰성을 가지고 있음을 확인할 수 있었다.

일본의 데이터는 ASME 피로설계곡선에 가깝지만 본 실험의 결과는 공기 중 평균곡선에 가깝게 나타나고 있으며 일본의 데이터에 비해 피로수명

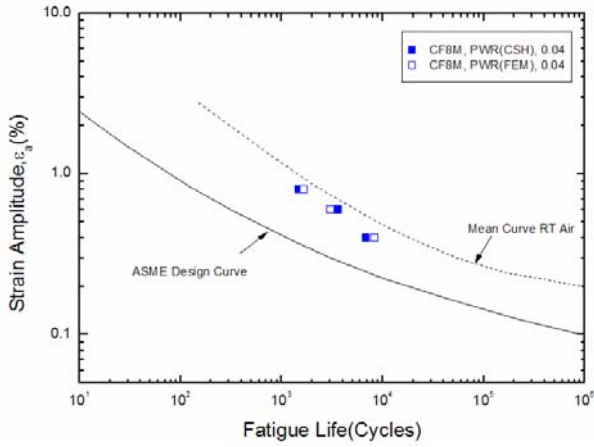


Fig. 20 The comparison of strain amplitude vs. fatigue life

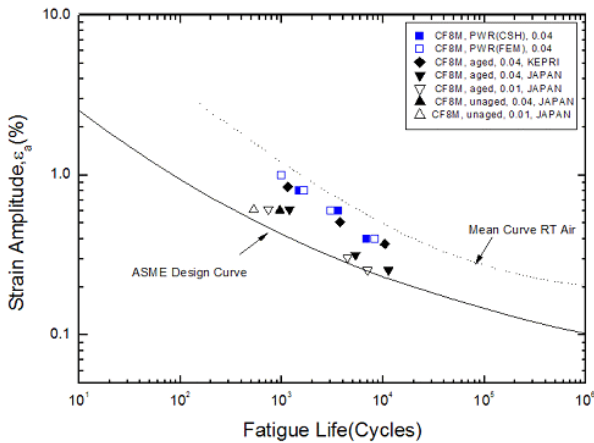


Fig. 21 The comparison of strain amplitude vs. fatigue life

이 길다. 이것은 변형률 속도와 열화상태는 유사한 조건이지만 시험편 모양과 수화학 조건이 다르기 때문이다. 일본의 데이터는 용존산소가 8ppb 인 것에 반해 본 실험은 5ppb 이하로 유지시켰으며 유량 등 기타의 수화학 조건도 상이하다. 일반적으로 실험실 조건상 유량은 발전소 가동상태와 비교하여 stagnant 에 가깝고, 이에 따라 전도도, pH 등과 같은 영향이 커져, 실험결과에 대한 차이가 클 수 있다. 본 실험의 조건은 국내 가동원전의 운전환경을 기초로 하여 설정한 것이다.

5. 결 론

본 연구에서는 원자력발전소 1 차 계통 배관재료로 사용되고 있는 주조 스테인리스강인 SA 351 CF8M 스테인리스강의 주기적 변형률 경화 현상을 고려한 저주기 환경피로 실험을 수행하였다. 기존

의 FEM 해석을 이용한 방법과 새로이 개발된 수식을 이용한 방법을 통해 상호 검증을 실시하였다.

본 연구를 통해 개발된 유도 수식을 이용한 주기적 변형률 경화 특성 보정 방법은 실험 시험편의 어깨부인 S.G.부를 계측하는 LVDT 의 변위거동을 cycle 수에 따라 2 단계로 구분하여 수식화하고 실험장치 제어프로그램에 입력하여 시험편의 표점거리 평행부인 R.G.부에서 발생하는 주기적 변형률 경화 특성을 저주기 환경피로 실험에서 모사하는 것이라 요약할 수 있다.

수식을 이용한 보정방법을 사용한 피로수명 특성을 비교한 결과, FEM 해석에 의해 얻은 결과나 기존 데이터의 경향과 유사하며 ASME Mean Curve RT(상온) Air Curve 보다 낮게 나타났다. 또한 수식을 이용한 주기적 변형률 경화 특성 보정 방법을 통하여, 기존의 간접적인 FEM 해석을 통한 보정방법의 신뢰성을 확인 검증하였다. 하지만 간접적인 해석방법의 한계를 고려할 때 직접적인 현상을 실험에 적용하는 것이 현실적이며 실제현상을 더욱 근사적으로 모사할 수 있을 것으로 판단된다.

본 연구에서 개발한 주기적 변형률 경화 현상 보정방법은 향후 다양한 변형률 속도와 열화시험에 대한 데이터 확보를 위하여 추가적인 환경피로 수명평가 곡선 개발 연구에 활용될 것이다. 향후 국내 원전 주요기기의 환경피로 건전성 평가에 필요한 환경피로 물성치 생산의 기술기반 확립에 이바지할 수 있다.

후 기

본 연구는 한국전력공사와 과학기술부 원자력 중장기 연구개발사업 원전기술혁신분야 후원으로 수행한 “CF8M 스테인레스강 환경피로 실험 연구” 의 일환으로 수행하였습니다.

참고문헌

- (1) Chopra, O.K., 1999, "Overview of Fatigue Crack Initiation in Carbon and Low-Alloy Steels in Light Water Reactor Environments," *J. Pres. Ves. Tech.* Vol. 121.
- (2) Gerber, D.A., 1998, "Evaluation of Environmental Fatigue Effects for a Westinghouse Nuclear Power Plant," EPRI TR-110043
- (3) Itatani, M. et. al, 2001, "Fatigue Crack Growth Curve for Austenitic Stainless Steels in BWR Environment," *J. Pres. Ves. Tech.* Vol. 123.
- (4) Garud, Y.S. et. al., 1997, "Corrosion Fatigue of

- Water-Touched Pressure Retaining Components in Power Plants," EPRI TR-106696
- (5) Jeong, I.S. et. al., 2005, "Environmental Fatigue Crack Propagation Behavior of Cast Stainless Steels under PWR Condition," *Key Engineering Materials* Vols. 297-300(2005) pp. 968-973
- (6) Jeong, I.S. et. al., 2007, "Low Cycle Fatigue Test of CF8M Cast Stainless Steel in PWR Environment," *KPVP 2007 Annual Conference, Muju Resort*
- (7) Jang, C.H. 2007, "Environmental Fatigue Tests in the Deaerated High Temperature Water," 2007 KEPIC Week, Kyungju Hyundai Hotel, August 2007
- (8) Bannantine, Julie A. et.al, 1990, "Fundamentals of Metal Fatigue Analysis," Prentice-Hall, Inc., pp. 40~87
- (9) 1993, "Standard Practice for Strain-Controlled Fatigue Testing," ASTM E 606-92, pp. 523-537
- (10) Chopra, O. K. and Shack, W. J., 2003, "Review of the Margins for ASME Code Fatigue Design Curve-Effects of Surface Roughness and Material Variability," NUREG/CR-ANL-02/39